

ORIGINAL

回転機研究会資料

資料番号

R M - 7 3 - 2

m相かご形誘導電動機の空間高調波
に 関 す る 研 究

齊 藤 兆 古

(法 政 大 学)

1973年6月28日

社団 電 気 学 会

法人 東京都千代田区有楽町1の11

m相かご形誘導電動機の空間高調波に関する研究

齊藤 兆吉 (法政大学 工学部)

1. まえがき

従来からかご形誘導電動機においては空間高調波に起因して生ずる異状トルクの存在が知られており、これらの異状トルクを防ぐために古くから多くの研究が行なわれ、現在ではその大部分が解明されたように見える。(1)~(5)

従来の理論の多くは碰界や碰束密度等で理論を展開しているが、本論文では微分方程式から出発し、テンソル解析法を用いて空間高調波による異状トルクの解明を試みているものである。本論文で得られた結果は、定性的には従来の理論と同一の様相を示しているが、従来の理論で各々の空間高調波次数を独立した存在として取り扱う仮定は特定の場合のみ妥当であつて、一般的には誤った仮定であるとの結論を得ている。

本研究で得られた結果は一般的の交流回転機の空間高調波を取り扱う場合に極めて重要であると思われる。

2. 理論

(2.1) 基礎インヒーダンス行列 空間高調波の発生原因はスロットパーキアンスの空間的変動によるものと起磁力分布によるものがある。

本研究では起磁力分布に起因する空間高調波のみを考え、スロットパーキアンスの変動は無視する。

1次m相2p極の起磁力分布によつて生ずる碰界は、これは零を含む正の整数、 $\mu_1 = 2m + 1$ として次式で表わされる。(6)

$$H_1 = \sum_{\mu_1} H_{p\mu_1} \quad \dots \dots (2.1)$$

2次はかご形巻線で各1本の導体が1相を形成する、従つて1本の導体の起磁力分布による碰界は、 $\mu_2 = 1, 2, 3, \dots$ として次式で表わされる

$$H_2 = \sum_{\mu_2} H_{\mu_2} \quad \dots \dots (2.2)$$

(2.1), (2.2) 各を用いて1次2次間のギャップ中に貯えられるエネルギーを計算して、Lagrange函数の運動エネルギーの項 \mathcal{L} が求まり、これに Rayleigh の消費函数 E ・および外部強制力 f_i (i は座標を示す。) を用いて Euler-Lagrange の運動方程式、

$$\frac{d}{dt} \left(\frac{\partial \mathcal{L}}{\partial \dot{x}_i} \right) - \frac{\partial \mathcal{L}}{\partial x_i} + \frac{\partial E}{\partial x_i} = f_i \quad \dots \dots (2.3)$$

を計算することによって基礎微分方程式が得られる。1次m相2次n相とし^て考えると、座標数はm+nとなり、得られた微分方程式のインダクタンス行列のみ取り出して書けば次式となる。

$$[\underline{Z}] = \begin{bmatrix} [\underline{Z}_{11}] & [\underline{M}_{12}] \\ [\underline{M}_{21}] & [\underline{Z}_{22}] \end{bmatrix} \quad \dots (2.4)$$

| | | |
|---|---|---|
| $R_1 + \frac{d}{dt} \left\{ \sum_{j=1}^n L_{1j} u_j + l_1 \right\}$ | $\frac{d}{dt} \sum_{j=1}^n L_{1j} \cos \frac{2\pi}{m} j u_1$ | $\cdot \frac{d}{dt} \sum_{j=1}^n L_{1j} \cos \frac{m-1}{m} 2\pi j u_1$ |
| $\frac{d}{dt} \sum_{j=1}^n L_{1j} \cos \frac{2\pi}{m} j u_1$ | $R_1 + \frac{d}{dt} \left\{ \sum_{j=1}^n L_{1j} u_j + l_1 \right\}$ | $\cdot \frac{1}{dt} \sum_{j=1}^n L_{1j} \cos \frac{m-2}{m} 2\pi j u_1$ |
| $\cdot \cdot \cdot$ | $\cdot \cdot \cdot$ | $\cdot \cdot \cdot$ |
| $\frac{d}{dt} \sum_{j=1}^n L_{1j} \cos \frac{m-1}{m} 2\pi j u_1$ | $\frac{d}{dt} \sum_{j=1}^n L_{1j} \cos \frac{m-2}{m} 2\pi j u_1$ | $\cdot R_1 + \frac{d}{dt} \left\{ \sum_{j=1}^n L_{1j} u_j + l_1 \right\}$ |

$$[\underline{M}_{12}] = [\underline{M}_{21}] =$$

| | | |
|---|--|--|
| $\cos \omega_1 \theta$ | $\cos \omega_1 (\theta + \frac{1}{n} 2\pi p)$ | $\cdot \cos \omega_1 (\theta + \frac{n-1}{n} 2\pi p)$ |
| $\frac{d}{dt} \sum M_{pj1}$ | $\cos \omega_1 (\theta - \frac{1}{m} 2\pi)$ | $\cdot \cos \omega_1 (\theta - \frac{2\pi}{m} + \frac{2\pi}{m} p)$ |
| $\cdot \cdot \cdot$ | $\cdot \cdot \cdot$ | $\cdot \cdot \cdot$ |
| $\cos \omega_1 (\theta - \frac{m-1}{m} 2\pi)$ | $\cos \omega_1 (\theta - \frac{m-1}{m} 2\pi + \frac{2\pi}{m} p)$ | $\cdot \cos \omega_1 (\theta - \frac{m-1}{m} 2\pi + \frac{n-1}{n} 2\pi p)$ |

| | | |
|---|---|---|
| $R_2 + \frac{d}{dt} \left\{ \sum_{j=1}^n L_{2j} u_2 + l_2 \right\}$ | $\frac{d}{dt} \sum_{j=1}^n L_{2j} \cos \frac{2\pi}{n} j u_2$ | $\cdot \frac{d}{dt} \sum_{j=1}^n L_{2j} \cos \frac{n-1}{n} 2\pi j u_2$ |
| $\frac{d}{dt} \sum_{j=1}^n L_{2j} \cos \frac{2\pi}{n} j u_2$ | $R_2 + \frac{d}{dt} \left\{ \sum_{j=1}^n L_{2j} u_2 + l_2 \right\}$ | $\cdot \frac{d}{dt} \sum_{j=1}^n L_{2j} \cos \frac{n-2}{n} 2\pi j u_2$ |
| $\cdot \cdot \cdot$ | $\cdot \cdot \cdot$ | $\cdot \cdot \cdot$ |
| $\frac{d}{dt} \sum_{j=1}^n L_{2j} \cos \frac{n-1}{n} 2\pi j u_2$ | $\frac{d}{dt} \sum_{j=1}^n L_{2j} \cos \frac{n-2}{n} 2\pi j u_2$ | $\cdot R_2 + \frac{d}{dt} \left\{ \sum_{j=1}^n L_{2j} u_2 + l_2 \right\}$ |

ここで、記号は以下に示すものである。

R_1, R_2 : 1次、2次各1相の抵抗 L_{1j}, L_{2j} : 各空間高調波に対する1次、2次各々の自己インダクタンス M_{pj1} : 各空間高調波に対する1次2次間の相互インダクタンス l_1, l_2 : 1次2次各々の漏れインダクタンス $\theta = (1-s)\omega t$: 1次2次間の回転の相差角 ω : 電源の角速度
 s : オベリウス : 行列の転置を示す。

〈2.2〉 座標変換と調波分析 (2.4) 式を m 相 n 相 対称座標行列を用いて座標変換を行なうが、ここで m 相 n 相 対称座標行列のオペレータがどのように空間高調波の自己インダクタンスや相互インダクタンスに影響を与えるかを調べてみる。 m 相 対称座標行列のオペレータ $\alpha = \exp(j2\pi/m)$ は $\alpha_1 = 2m\theta \pm 1$ なる次数に対しては $\alpha_1 = \exp\{(2m\theta \pm 1)j2\pi/m\} = \exp(\pm j2\pi/m)$ となって、 $\alpha_1 = 2m\theta \pm 1$ は ± 1 なる次数と同じ効果を与える。 n 相 対称座標行列のオペレータ $\beta = \exp(j2\pi/n)$ は $\beta_2 = gn + \gamma$ (g は零を含む正の整数、 γ は n より小さい 2 次側空間高調波次数) なる 2 次側空間高調波次数に対しては $\beta_2 = \exp\{(gn + \gamma)j2\pi/n\} = \beta^\gamma$ となって、 $\beta_2 = gn + \gamma$ は γ なる次数と同じ効果を与える。

座標変換は通常のランソル解析法と同様にして次式で行なわれる。

$$[Z] = \begin{bmatrix} [m] \cdot [Z_{11}] \cdot [m]^{-1} & [m] \cdot [M_{12}] \cdot [n]^{-1} \\ - & - \\ [n] \cdot [M_{21}] \cdot [m]^{-1} & [n] \cdot [Z_{22}] \cdot [n]^{-1} \end{bmatrix} \quad \dots \quad (2.5)$$

$[Z_{11}]' = [m] \cdot [Z_{11}] \cdot [m]^{-1}$ の項は一般の 3 相 対称座標変換と同じく、正相並相および零相分にインピーダンスを分解し、インピーダンス行列を対角化している。この場合のインピーダンス行列 $[Z_{11}]$ は m 次元の正方形行列であるためにオ 2 行 2 列とオ m 行 m 列に正相、逆相分のインピーダンスが存在し、他の対角線上の要素はすべて零相分となる。 $[Z_{22}]' = [n] \cdot [Z_{22}] \cdot [n]^{-1}$ の項は 2 次側空間高調波の次数を $\beta_2 = gn + \gamma$ と書き換えて計算を実行すれば、 $\beta_2 = gn + \gamma$ となる空間高調波次数の自己インダクタンスは $[Z_{22}]'$ の行列中でオ $\gamma + 1$ 行 $\gamma + 1$ 列とオ $n - \gamma + 1$ 行 $n - \gamma + 1$ 列のインピーダンスに寄与する。これは $[Z_{11}]'$ において $\alpha_1 = 2m\theta \pm 1$ なる次数が正相、逆相分のインピーダンスに寄与するのに対して、 $\beta_2 = gn + \gamma$ なる次数が γ なる次数の正相、逆相分のインピーダンスに寄与することを示している。

$[M_{12}]' = [m]^2 \cdot [M_{12}] \cdot [n]^{-1}$ の項も $[Z_{11}]'$ 、 $[Z_{22}]'$ と同様な考慮をして計算を行なえば、オ 1 行 1 列の要素は $(\sqrt{mn}) \sum M_{gn} \cos(gn\theta/p)$ となり、これは 2 次側の零相分となる相互インダクタンスである。一般に $p\alpha_1 = p(2m\theta \pm 1) = gn + \gamma$ なる次数の相互インダクタンスは行列中のオ 2 行 オ $\gamma + 1$ 列に $(\sqrt{mn}/2) \sum M_{gn+\gamma} \exp(\pm j(gn+\gamma)\theta/p)$ なる大きさで存在し、その実役のものがオ m 行 $n + 1 - \gamma$ 列に存在する。従って、いま行列中でオ 2 行に存在する次数を $p\alpha_1 = gn + \gamma = p(2m\theta \pm 1)$ 、オ m 行に存在する次数を $p\beta_2' = gn + \gamma' = p(2m\theta' \pm 1)$ とすれば両者が同列となる条件は次式で与えられる。

$$\begin{aligned} n(1 + g + \gamma') &= 2p \left\{ m(\theta + \theta') \pm \left(\frac{\gamma}{1} \right) \right\} \\ &= p(\alpha_1 + \beta_2') \end{aligned} \quad \dots \quad (2.6)$$

(2.6) 式は記号によつて次のように分類される。

(a) $p_{211} = p(2m\alpha \pm 1)$, $p_{211}' = p(2m\alpha' \pm 1)$ のとき
 $n(1+g+g') = 2pm(\alpha+\alpha')$

(b) $p_{211} = p(2m\alpha+1)$, $p_{211}' = p(2m\alpha'+1)$ のとき
 $n(1+g+g') = 2p\{m(\alpha+\alpha')+1\}$

(c) $p_{211} = p(2m\alpha-1)$, $p_{211}' = p(2m\alpha'-1)$ のとき
 $n(1+g+g') = 2p\{m(\alpha+\alpha')-1\}$

(d) 同列となるときは

$$n(1+g+g') = 2p\{m(\alpha+\alpha') \pm 1\}$$

従つて、空間高調波の相互インダクタンスは、1次2次相数および極数によって上記の4個のケースに調波分析される。(2.5)式の結果を上記の4個のケースについて以下に示す。

〔a〕

| | | | |
|---|---|---|---|
| $R_1 + \frac{d}{dt} \left\{ \frac{m}{2} \sum_{\alpha} L_{211} + l_1 \right\}$ | | $\cdot \frac{d}{dt} \frac{\sqrt{mn}}{2} \sum_{\alpha} M \sum_{\alpha'}^{\pm j(gn+\sigma)} \frac{\theta}{P}$ | $\cdot \frac{d}{dt} \frac{\sqrt{mn}}{2} \sum_{\alpha'} M \sum_{\alpha}^{\pm j(\bar{g}n-\sigma)} \frac{\theta}{P}$ |
| $R_1 + \frac{d}{dt} \left\{ \frac{m}{2} \sum_{\alpha} L_{211} + l_1 \right\}$ | $\cdot \frac{d}{dt} \frac{\sqrt{mn}}{2} \sum_{\alpha'} M \sum_{\alpha}^{\pm j(\bar{g}n-\sigma)} \frac{\theta}{P}$ | $\cdot \frac{d}{dt} \frac{\sqrt{mn}}{2} \sum_{\alpha} M \sum_{\alpha'}^{\pm j(gn+\sigma)} \frac{\theta}{P}$ | |
| • • • | • • • | • | |
| $\frac{d}{dt} \frac{\sqrt{mn}}{2} \sum_{\alpha} M \sum_{\alpha'}^{\pm j(gn+\sigma)} \frac{\theta}{P}$ | $\frac{d}{dt} \frac{\sqrt{mn}}{2} \sum_{\alpha'} M \sum_{\alpha}^{\pm j(\bar{g}n-\sigma)} \frac{\theta}{P}$ | $R_2 + \frac{d}{dt} \left\{ \frac{n}{2} \sum_{\alpha} L_{g\alpha+\sigma} + l_2 \right\}$ | |
| • • • | • • • | • | |
| $\frac{d}{dt} \frac{\sqrt{mn}}{2} \sum_{\alpha'} M \sum_{\alpha}^{\pm j(\bar{g}n-\sigma)} \frac{\theta}{P}$ | $\frac{d}{dt} \frac{\sqrt{mn}}{2} \sum_{\alpha} M \sum_{\alpha'}^{\pm j(gn+\sigma)} \frac{\theta}{P}$ | | $R_2 + \frac{d}{dt} \left\{ \frac{n}{2} \sum_{\alpha} L_{g\alpha+\sigma} + l_2 \right\}$ |
| • • • | • • • | | |

〔b〕

| | | | |
|---|---|---|---|
| $R_1 + \frac{d}{dt} \left\{ \frac{m}{2} \sum_{\alpha} L_{211} + l_1 \right\}$ | | $\cdot \frac{d}{dt} \frac{\sqrt{mn}}{2} \sum_{\alpha} M \sum_{\alpha'}^{\pm j(gn+\sigma)} \frac{\theta}{P}$ | $\cdot \frac{d}{dt} \frac{\sqrt{mn}}{2} \sum_{\alpha'} M \sum_{\alpha}^{\pm j(\bar{g}n-\sigma)} \frac{\theta}{P}$ |
| $R_1 + \frac{d}{dt} \left\{ \frac{m}{2} \sum_{\alpha} L_{211} + l_1 \right\}$ | $\cdot \frac{d}{dt} \frac{\sqrt{mn}}{2} \sum_{\alpha'} M \sum_{\alpha}^{\pm j(\bar{g}n-\sigma)} \frac{\theta}{P}$ | $\cdot \frac{d}{dt} \frac{\sqrt{mn}}{2} \sum_{\alpha} M \sum_{\alpha'}^{\pm j(gn+\sigma)} \frac{\theta}{P}$ | $\cdot \frac{d}{dt} \frac{\sqrt{mn}}{2} \sum_{\alpha} M \sum_{\alpha'}^{\pm j(gn+\sigma)} \frac{\theta}{P}$ |
| • • • | • • • | • | |
| $\frac{d}{dt} \frac{\sqrt{mn}}{2} \sum_{\alpha} M \sum_{\alpha'}^{\pm j(gn+\sigma)} \frac{\theta}{P}$ | $\frac{d}{dt} \frac{\sqrt{mn}}{2} \sum_{\alpha'} M \sum_{\alpha}^{\pm j(\bar{g}n-\sigma)} \frac{\theta}{P}$ | $R_2 + \frac{d}{dt} \left\{ \frac{n}{2} \sum_{\alpha} L_{g\alpha+\sigma} + l_2 \right\}$ | |
| • • • | • • • | • | |
| $\frac{d}{dt} \frac{\sqrt{mn}}{2} \sum_{\alpha'} M \sum_{\alpha}^{\pm j(\bar{g}n-\sigma)} \frac{\theta}{P}$ | $\frac{d}{dt} \frac{\sqrt{mn}}{2} \sum_{\alpha} M \sum_{\alpha'}^{\pm j(gn+\sigma)} \frac{\theta}{P}$ | | $R_2 + \frac{d}{dt} \left\{ \frac{n}{2} \sum_{\alpha} L_{g\alpha+\sigma} + l_2 \right\}$ |
| • • • | • • • | | |

(c)

| | | | |
|--|--|--|--|
| $R_1 + \frac{d}{dt} \left\{ \frac{m}{2} \sum_{j_1} L_{jj_1} + l_1 \right\}$ | | $\frac{d}{dt} \frac{\sqrt{mn}}{2} \sum_j M_j \sum_{g=gn+r}^{(gn+\delta)} \frac{\epsilon^{i(gn+\delta)}}{P}$ | $\frac{d}{dt} \frac{\sqrt{mn}}{2} \sum_j M_j \sum_{g=(1+g')n-\delta}^{(1+g'n-\delta)} \frac{\epsilon^{i(gn+\delta)}}{P}$ |
| $R_2 + \frac{d}{dt} \left\{ \frac{m}{2} \sum_{j_1} L_{jj_1} + l_1 \right\}$ | | $\frac{d}{dt} \frac{\sqrt{mn}}{2} \sum_j M_j \sum_{g=(1+g')n-\delta}^{(1+g'n-\delta)} \frac{\epsilon^{i(gn+\delta)}}{P}$ | $\frac{d}{dt} \frac{\sqrt{mn}}{2} \sum_j M_j \sum_{g=gn+r}^{(gn+\delta)} \frac{\epsilon^{i(gn+\delta)}}{P}$ |
| • • • | • • • | • | • |
| $\frac{d}{dt} \frac{\sqrt{mn}}{2} \sum_j M_j \sum_{g=gn+r}^{(gn+\delta)} \frac{\epsilon^{i(gn+\delta)}}{P}$ | $\frac{d}{dt} \frac{\sqrt{mn}}{2} \sum_j M_j \sum_{g=(1+g')n-\delta}^{(1+g'n-\delta)} \frac{\epsilon^{i(gn+\delta)}}{P}$ | $R_2 + \frac{d}{dt} \left\{ \frac{n}{2} \sum_{g=gn+r}^L + l_2 \right\}$ | • |
| $\frac{d}{dt} \frac{\sqrt{mn}}{2} \sum_j M_j \sum_{g=(1+g')n-\delta}^{(1+g'n-\delta)} \frac{\epsilon^{i(gn+\delta)}}{P}$ | $\frac{d}{dt} \frac{\sqrt{mn}}{2} \sum_j M_j \sum_{g=gn+r}^{(gn+\delta)} \frac{\epsilon^{i(gn+\delta)}}{P}$ | | $R_2 + \frac{d}{dt} \left\{ \frac{n}{2} \sum_{g=gn+r}^L + l_2 \right\}$ |
| • • • | • • • | | • |

(d)

| | | | |
|---|-------|---|---|
| $R_1 + \frac{d}{dt} \left\{ \frac{m}{2} \sum_{j_1} L_{jj_1} + l_2 \right\}$ | | $\frac{d}{dt} \frac{\sqrt{mn}}{2} \sum_j M_j \sum_{g=gn+r}^{(gn+\delta)} \frac{\epsilon^{i(gn+\delta)}}{P}$ | • |
| $R_1 + \frac{d}{dt} \left\{ \frac{m}{2} \sum_{j_1} L_{jj_1} + l_2 \right\}$ | | | $\frac{d}{dt} \frac{\sqrt{mn}}{2} \sum_j M_j \sum_{g=gn+r}^{(gn+\delta)} \frac{\epsilon^{i(gn+\delta)}}{P}$ |
| • • • | • • • | • | • |
| $\frac{d}{dt} \frac{\sqrt{mn}}{2} \sum_j M_j \sum_{g=gn+r}^{(gn+\delta)} \frac{\epsilon^{i(gn+\delta)}}{P}$ | | $R_2 + \frac{d}{dt} \left\{ \frac{n}{2} \sum_{g=gn+r}^L + l_2 \right\}$ | • |
| $\frac{d}{dt} \frac{\sqrt{mn}}{2} \sum_j M_j \sum_{g=gn+r}^{(gn+\delta)} \frac{\epsilon^{i(gn+\delta)}}{P}$ | | | $R_2 + \frac{d}{dt} \left\{ \frac{n}{2} \sum_{g=gn+r}^L + l_2 \right\}$ |
| • • • | | | • |

上記の(a)～(d)のインピーダンス行列から、従来の理論で空間高調波次数がそれぞれ独立とする仮定が妥当なのは(d)のケースだけであって、他の場合は空間高調波の相互インダクタンスが2次回路を共通とすために1次回路にも特定の2次空間高調波、即ち $gn+r$ 次と $(1+g')n-\delta$ 次の空間高調波の組み合せによって高調波の電流が流れることが予測できる。

〈2.3〉 基本式および電流とトルク 1次 m 相印加電圧が完全に平衡したものであれば並列分に分解された電圧行列

$$[V]' = [m] \cdot [V]$$

はオ 2 行とオ m 行にのみ互に共役となる電圧が存在し、他の行はすべて零となる。従って、基本式は一般に次式で与えられる。

$$[V]' = [\chi]' \cdot [I]' \quad \dots \quad (2.7)$$

またトルクの一般式は次式で与えられる。 (* は先後を示す。)

$$\bar{C} = \frac{p}{4\omega_m} \left[[I]_t^* \cdot \left\{ \frac{\partial}{\partial t} [Z] \right\} \cdot [I] \right] \quad \dots (2.8)$$

電流の計算は (a) ~ (d) の各ケースでインピーダンス行列が異なるため、電流もトルクも各ケースによって異なつてくる。従って、(a) ~ (d) のケース中で (b) のケースについてのみ電流・トルクの吟味を行ない、他のケースについてはそれらの結果のみ述べることとする。

(b) のケース、即ち $m(1+g+g') = 2p \{m(g+g')+1\}$ のとき (2.7) 式の電圧行列で、第2行に存在する電圧を $\nabla \exp(j\omega t)$ 、第3行に存在する電圧を $\nabla^* \exp(-j\omega t)$ とすれば電流行列は次式のごとく書ける。

$$\begin{matrix} & l_1 \varepsilon^{j\omega t} + l_1' \varepsilon^{-j\omega t} + j(1+g+g') \frac{n\theta}{p} \\ & l_1^* \varepsilon^{-j\omega t} + l_1' \varepsilon^{j\omega t} - j(1+g+g') \frac{n\theta}{p} \\ \cdot & \cdot & \cdot & \cdot \\ [I]' = & l_{gn+\delta} \varepsilon^{j\omega t} - j(gn+\delta) \frac{\theta}{p} + l_{gn+\delta}^* \varepsilon^{-j\omega t} + j(1+g'n-\delta) \frac{\theta}{p} \\ & \cdot & \cdot & \cdot \\ & l_{gn+\delta}^* \varepsilon^{-j\omega t} + j(gn+\delta) \frac{\theta}{p} + l_{gn+\delta} \varepsilon^{j\omega t} - j(1+g'n-\delta) \frac{\theta}{p} \\ & \cdot & \cdot & \cdot \end{matrix} \dots (2.9)$$

さらに、(2.8) 式からトルクを計算すると、 $\bar{C} = \bar{C}_1 + \bar{C}'_1 + \bar{C}_2 + \bar{C}'_2 + \bar{C}_3 + \bar{C}'_3$ として、全トルクは $\bar{C}_t = \bar{C} + \bar{C}^*$ で与えられる。

ここで、

$$\bar{C}_1 = j(gn+\delta) \frac{\sqrt{mn}}{4} M_{gn+\delta} \cdot l_1^* \cdot l_{gn+\delta}, \quad \bar{C}'_1 = j(\overline{1+g'}n-\delta) \frac{\sqrt{mn}}{4} M_{\overline{1+g'}n-\delta} \cdot l_1^* \cdot l_{gn+\delta}$$

$$\bar{C}_2 = j(gn+\delta) \frac{\sqrt{mn}}{4} M_{gn+\delta} \cdot l_1' \cdot l_{\overline{1+g'}n-\delta}, \quad \bar{C}'_2 = j(\overline{1+g'}n-\delta) \frac{\sqrt{mn}}{4} M_{\overline{1+g'}n-\delta} \cdot l_1' \cdot l_{gn+\delta}$$

$$\bar{C}_3 = j(gn+\delta) \frac{\sqrt{mn}}{4} M_{gn+\delta} \left(l_1^* \cdot l_{\overline{1+g'}n-\delta} - l_1' \cdot l_{gn+\delta}^* \right) \varepsilon^{j2\omega t} + j(1+g+g') \frac{n\theta}{p}$$

$$\bar{C}'_3 = j(\overline{1+g'}n-\delta) \frac{\sqrt{mn}}{4} M_{\overline{1+g'}n-\delta} \left(l_1' \cdot l_{\overline{1+g'}n-\delta} - l_1 \cdot l_{gn+\delta}^* \right) \varepsilon^{j2\omega t} - j(1+g+g') \frac{n\theta}{p}$$

であつて、 \bar{C}_1, \bar{C}'_1 は1次電源周波数と2次の高調波電流の間で生ずる非同期トルク、 \bar{C}_2, \bar{C}'_2 の項は1次高調波電流と2次の高調波電流の間で生ずる非同期トルク、 \bar{C}_3, \bar{C}'_3 の項は $s = 1 - 2p/m(1+g'+g)$ のすべりで有効ト

ルフを発生する回転時同期リローリングであつて、これには(2.6)式を満足するすべての空間高調波が同時に寄与する。

<2.4> 1次高調波電流と同期リローリングの発生原因 1次高調波電流: (b) のケースのインセナーダンス行列で 2次インセナーダンス

$$R_2 + \frac{d}{dt} \left\{ \frac{n}{2} \sum_g L_{gn+r} + I_2 \right\}$$

は $gn+r$ 次と $(1+g')n-r$ 次の空間高調波相互インダクタンスに共通となつてゐるため上記のインセナーダンスを流れる高調波電流は(2.9)式のオ4, 6行に示されてゐるよう $gn+r$ 次と $(1+g')n-r$ 次の2種類存在する。そして、それらの高調波電流のなかで $gn+r$ 次の高調波電流が $(1+g')n-r$ 次の空間高調波相互インダクタンスを通して1次側に高調波電流を発生させる。同様に $(1+g')n-r$ 次の高調波電流が $gn+r$ 次の空間高調波相互インダクタンスを通して1次側に高調波電流を発生させる。

そして、これらはどちらの組み合せで生じた1次高調波電流も同一の周波数となる。従って、1次高調波電流の大きさを計算するためには、 $gn+r$ 次と $(1+g')n-r$ 次の空間高調波を連立して求めなければならぬことがわかる。

同期リローリングは(2.7)式でオ2行に存在する電圧 $V \exp(j\omega t)$ [またはオm行に存在する電圧 $V^* \exp(-j\omega t)$] によって生ずる1次高調波電流とオm行に存在する電圧 $V^* \exp(-j\omega t)$ [またはオ2行に存在する電圧 $V \exp(j\omega t)$] によって生ずる2次高調波電流の間で生ずるものと、オ2行に存在する電圧 $V \exp(j\omega t)$ [またはオm行に存在する電圧 $V^* \exp(-j\omega t)$] によって生ずる $gn+r$ 次 [または $(1+g')n-r$ 次] の2次高調波電流が $(1+g')n-r$ 次 [または $gn+r$ 次] の空間高調波相互インダクタンスを通して1次のオm行に存在する電圧 $V^* \exp(-j\omega t)$ [またはオ2行に存在する電圧 $V \exp(j\omega t)$] による電源周波数の1次電流の間で生ずるものがあり、両者とも同一のすべりで有効トルクを発生する。従って、テンソル解析法で同期トルクを計算する場合、1次電圧は瞬時値で取り扱わなければいけない。

<2.5> (a), (c) および (d) のケースにおける同期トルク

(a) のケース: 空間高調波によって異なる同期速度を持つ回転時同期リローリングと1次2次間の連の空間高調波の組み合せによる静止時同期リローリングを生ずる。

(c) のケース: (2.6)式を満足するすべての空間高調波が同時に $S = 1 + 2p/m(1+g+g')$ のすべりで発生する同期トルクに寄与する。

(d) のケース: 同期トルクは発生せず、非同期トルクのみとなる。

<2.6> 整流行列と数値計算 (7) (a) ~ (d) のインピーダンス行列で、(a) のケースは相互インダクタンス行列 $[M_{12}']$ で同列となる空間高調波が互に逆方向の回転方向となるので整流行列は適用できない。他のケースは相互インダクタンス行列で同行同列となる空間高調波の相互インダクタンスを互に独立していると仮定すれば整流行列を適用することができる。

その1例として (b) のケースでオ2行の電圧に対する整流行列とそれを適用した結果を示す。オm行の電圧による電流はオ2行の電圧による電流の英倍で計算されるので実際にはこの例で充分である。

(b) のケースに対する整流行列は次式で与えられる。

$$[K] = \begin{array}{|c|c|c|c|c|c|} \hline 1 & & & & & \\ \hline & \zeta^{j(1+g+g')\frac{n}{p}} & & & & \\ \hline & & \ddots & & & \\ \hline & & & \zeta^{j(gn+\delta)\frac{n}{p}} & & \\ \hline & & & & \ddots & \\ \hline & & & & & \zeta^{j(\bar{g}+g'n-\delta)\frac{n}{p}} \\ \hline & & & & & \ddots \\ \hline \end{array} \quad \dots (2.10)$$

$$[\zeta]^H = [K] \cdot [\zeta]^T \cdot [K]_t^*$$

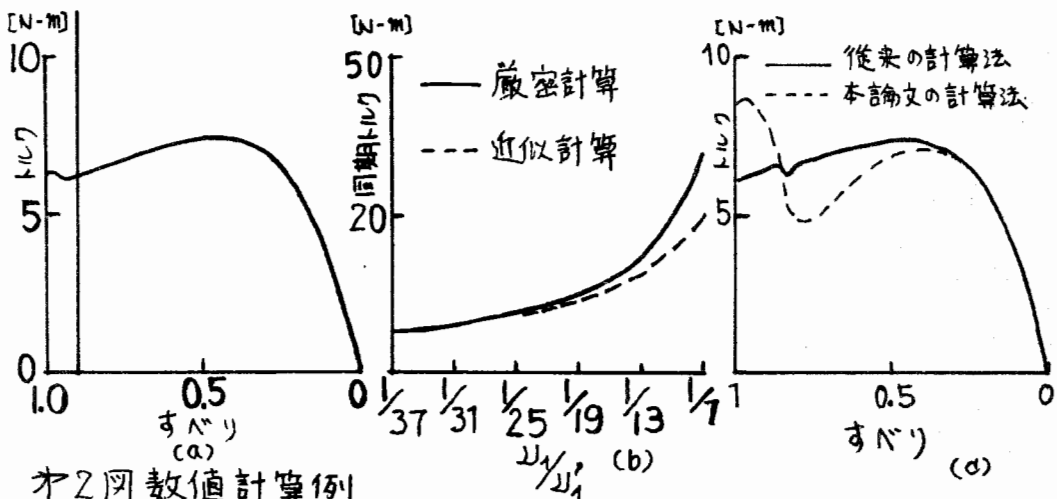
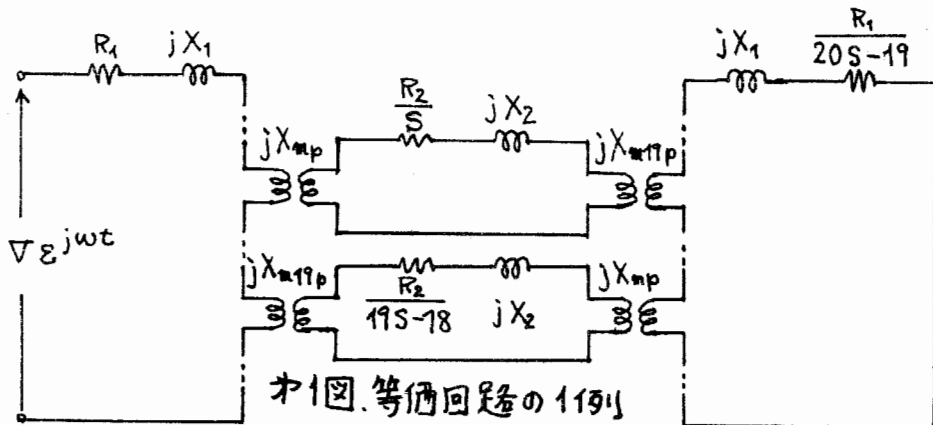
$$= \begin{array}{|c|c|} \hline R_1 + \frac{d}{dt} \left\{ \frac{m}{2} \sum_{11} L_{11} + I_1 \right\} & R_1 + \sum_g \sum_g \left\{ \frac{d}{dt} - j(1+g+g') \frac{n}{p} w_m \right\} \left\{ \frac{m}{2} \sum_{11} L_{11} + I_1 \right\} \\ \hline \ddots \ddots \ddots & \ddots \ddots \ddots \\ \hline \sum_g \left\{ \frac{d}{dt} - j(gn+\delta) \frac{w_m}{p} \right\} \frac{\sqrt{mn}}{2} M_{gn+\delta} & \sum_g \left\{ \frac{d}{dt} - j(gn+\delta) \frac{w_m}{p} \right\} \frac{\sqrt{mn}}{2} \sum_g M_{\bar{g}+g'n-\delta} \\ \hline \sum_g \left\{ \frac{d}{dt} - j(\bar{g}+g'n-\delta) \frac{w_m}{p} \right\} \frac{\sqrt{mn}}{2} M_{\bar{g}+g'n-\delta} & \sum_g \left\{ \frac{d}{dt} - j(\bar{g}+g'n-\delta) \frac{w_m}{p} \right\} \frac{\sqrt{mn}}{2} \sum_g M_{gn+\delta} \\ \hline \ddots \ddots \ddots & \ddots \ddots \ddots \\ \hline \end{array}$$

$$= \begin{array}{|c|c|} \hline \frac{d}{dt} \frac{\sqrt{mn}}{2} \sum_g M_{gn+\delta} & \frac{d}{dt} \frac{\sqrt{mn}}{2} \sum_g M_{\bar{g}+g'n-\delta} \\ \hline \sum_g \sum_g \left\{ \frac{d}{dt} - j(1+g+g') \frac{n}{p} w_m \right\} \frac{\sqrt{mn}}{2} M_{\bar{g}+g'n-\delta} & \sum_g \sum_g \left\{ \frac{d}{dt} - j(1+g+g') \frac{n}{p} w_m \right\} \frac{\sqrt{mn}}{2} M_{gn+\delta} \\ \hline R_2 + \sum_g \left\{ \frac{d}{dt} - j(gn+\delta) \frac{w_m}{p} \right\} \left\{ \frac{n}{2} L_{gn+\delta} + I_2 \right\} & \\ \hline R_2 + \sum_g \sum_g \left\{ \frac{d}{dt} - j(\bar{g}+g'n-\delta) \frac{w_m}{p} \right\} \left\{ \frac{n}{2} L_{gn+\delta} + I_2 \right\} & \\ \hline \end{array}$$

... (2.11)

(2.11) 式は (b) のケースのインピーダンス行列を (2.10) 式で変

換したものである。但し、(2.11) 式で g および g' は (2.6) 式を満足する値をとるものとする。(2.11) 式で、 $g = g' = 0$, $\delta = p$, $m - \delta = 19p$ のときの等価回路をオイ图に示す。



オ2図に数値計算例を示す。オ2図(a)は $V = 200$ [V], $2p = 4$, $U_1/U_1' = 1/19$, $R_1 = R_2 = 5$ [Ω], $X_1 = X_2 = 100$ [Ω], $X_{mp} = 95$, $X_{m19p} = 95/19 \times 19$ [Ω]として計算したもの、(b)は各種の U_1/U_1' の値に対して同期トルク(最大値から最小値まで)を、 U_1 と U_1' を連立して計算した厳密値と U_1 と U_1' をそれをれぞれ独立として計算した近似値が示してある。 $(X_{mp}U_1' = 95/U_1' \times U_1)$ として計算している。) オ2図(c)にオ7次高調波の非同期トルクを、2次回路が高調波に対しても基本波と同じインヒーダンスを持ったとして計算した値(従来の計算法)と2次回路が高調波に対して異なるインヒーダンスを持つとする本論文の計算法による計算値が示してある。(本論文の方法では、 $X_2 = (95/19 \times 19) + 5$ [Ω]として計算している。)

第2回(a)の計算では、 \bar{E}_3 による同期トルクが $\tau_1 = \bar{E}_3^2 / (2\pi f_0)$ で、 $\bar{E}_3 \times 100 / \tau_1 = 3.35\%$ 程度であった。第2回(b)では、同期トルクは $\bar{E}_1 = 19$ または25以上では近似計算で充分な精度が得られることがわかる。第2回(c)では、非同期トルク-速度は従来の理論では稍々誤差を招くと思われる。

3. 結論

本研究でかご形誘導電動機の空間高調波にテンソル解析法を適用した結果以下のことがわかった。

(1) 従来、境界や磁束密度等で理論を開拓していくものかテンソル解析法で定量的に取り扱うことができる。

(2) 従来、空間高調波を各自独立として取り扱うとする仮定は特定の場合のみ妥当であつて、一般的には不適当である。

(3) 空間高調波を考慮したかご形誘導電動機の基本式は4個のケースに分類される。

以上は空間高調波による異状現象の中で異状トルクについての研究の結果であり、空間高調波による異状トルク算定の精度向上が得られたことがわかる。騒音の問題については稿を改めたい。

本研究を指導して頂いた、藤田伊八郎博士および本学教授山村龍男博士に厚くお礼を申しあげます。

文献

- (1) 文川忠吉 : 芝浦レヴュー 13巻 237 ページ 1934
- (2) 藤田伊八郎 : 東芝レヴュー 9巻 857 ページ 1954
- (3) 古崎彰 : 電学誌 74巻 705 ページ 1955
- (4) P.L. Alger : The Nature of Induction Machines
325 ページ 1965
- (5) 尾本, 他 : 電学誌 70巻 385 ページ 1950
- (6) たとえば, Puchstein : Alternating Current Machines 302 ページ
- (7) 整流行列については竹内 : Matrix Theory of Electrical Machinery 33 ページ

| | |
|------|------------------|
| 原稿受付 | 昭和 48 年 5 月 29 日 |
|------|------------------|